

2D Temperaturleitung mit ortsabhängigem Leitkoeffizienten

Markus Towara und Uwe Naumann

LuFG Informatik 12: Software and Tools for Computational Engineering
RWTH Aachen

$$(1D) \quad \frac{\partial T}{\partial t} = c(x) \cdot \frac{\partial^2 T}{\partial x^2} \quad , \quad T = T(x, t, c)$$



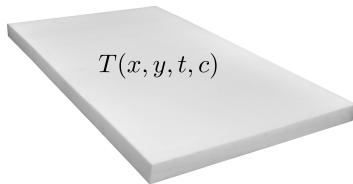
x : Ortskoordinate

t : Zeit

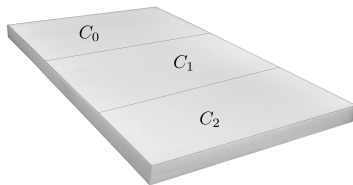
c : Temperaturleitfähigkeit

T : Temperaturverteilung

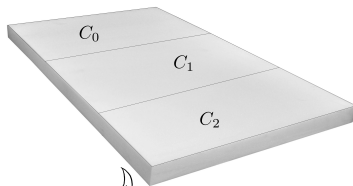
$$(2D) \quad \frac{\partial T}{\partial t} = c(x, y) \cdot \left(\frac{\partial^2 T}{\partial x^2} + \frac{\partial^2 T}{\partial y^2} \right) \quad , \quad T = T(x, y, t, c)$$



$$(2D) \quad \frac{\partial T}{\partial t} = c(x, y) \cdot \left(\frac{\partial^2 T}{\partial x^2} + \frac{\partial^2 T}{\partial y^2} \right) \quad , \quad T = T(x, y, t, c)$$



$$(2D) \quad \frac{\partial T}{\partial t} = c(x, y) \cdot \left(\frac{\partial^2 T}{\partial x^2} + \frac{\partial^2 T}{\partial y^2} \right) + q(x, y) \quad , \quad T = T(x, y, t, c)$$



$$(1D) \quad \frac{\partial T}{\partial t} = c(x) \cdot \frac{\partial^2 T}{\partial x^2} + q(x) = r(T, x, c, t) \quad , \quad T = T(x, t, c)$$

x : Ortskoordinate

t : Zeit

c : Temperaturleitfähigkeit

T : Temperaturverteilung

q : Wärmestromdichte

r : Residuum zum stationären Zustand

$T(x, t = 0) \equiv 300K$: Startverteilung

$T(x = 0, t) = 300K$: linker Randwert

$T(x = 1, t) = 330K$: rechter Randwert

- ▶ wir betrachten einen Stab der Einheitslänge 1m mit n äquidistanten Stützstellen, d.h.

$$\Delta x = \frac{1}{n-1}$$

(1D) Diskretisierung – Raum

- ▶ wir betrachten einen Stab der Einheitslänge 1m mit n äquidistanten Stützstellen, d.h.

$$\Delta x = \frac{1}{n-1}$$

- ▶ Diskretisierung der zweiten Ableitung

$$\frac{\partial^2 T}{\partial x^2}(t, x_j, c) \approx \frac{T_{j+1} - 2 \cdot T_j + T_{j-1}}{(\Delta x)^2}, \quad j = 1, \dots, n-2,$$

(1D) Diskretisierung – Raum

- ▶ wir betrachten einen Stab der Einheitslänge 1m mit n äquidistanten Stützstellen, d.h.

$$\Delta x = \frac{1}{n-1}$$

- ▶ Diskretisierung der zweiten Ableitung

$$\frac{\partial^2 T}{\partial x^2}(t, x_j, c) \approx \frac{T_{j+1} - 2 \cdot T_j + T_{j-1}}{(\Delta x)^2}, \quad j = 1, \dots, n-2,$$

- ▶ was zu einem System von gewöhnlichen Differentialgleichungen führt

$$\frac{\partial T_j}{\partial t} = r_j(c, \Delta x, T), \quad j = 0, \dots, n-1$$

Zeitliche Veränderung der Temperatur an der Stelle x_j

$$\frac{\partial T_j}{\partial t} = r_j(c, \Delta x, T), \quad j = 0, \dots, n-1$$

Zeitliche Veränderung der Temperatur an der Stelle x_j

$$\frac{\partial T_j}{\partial t} = r_j(c, \Delta x, T), \quad j = 0, \dots, n-1$$

► wobei das Residuum

$$r_j = 0 \qquad j \in \{0, n-1\}$$

$$r_j = \frac{c_j}{(\Delta x)^2} \cdot (T_{j+1} - 2 \cdot T_j + T_{j-1}) + q_j \qquad j \in \{1, \dots, n-2\}$$

Zeitliche Veränderung der Temperatur an der Stelle x_j

$$\frac{\partial T_j}{\partial t} = r_j(c, \Delta x, T), \quad j = 0, \dots, n-1$$

- ▶ wobei das Residuum

$$r_j = 0 \quad j \in \{0, n-1\}$$

$$r_j = \frac{c_j}{(\Delta x)^2} \cdot (T_{j+1} - 2 \cdot T_j + T_{j-1}) + q_j \quad j \in \{1, \dots, n-2\}$$

- ▶ und da die Differentialgleichung linear in T ist, können wir ohne Fehler eine erste-Ordnung Taylor-Approximation um $T = 0$ vornehmen

$$\frac{\partial T}{\partial t} = \underbrace{r(c, \Delta x, 0)}_{=q_i} + \frac{\partial r}{\partial T}(c, \Delta x) \cdot (T - 0)$$

$$\frac{\partial T}{\partial t}(c, \Delta x) = \frac{c}{(\Delta x)^2} \cdot \begin{pmatrix} 0 & 0 & 0 & 0 & 0 & 0 \\ 1 & -2 & 1 & 0 & 0 & 0 \\ 0 & 1 & -2 & 1 & 0 & 0 \\ 0 & 0 & 1 & -2 & 1 & 0 \\ 0 & 0 & 0 & 1 & -2 & 1 \\ 0 & 0 & 0 & 0 & 0 & 0 \end{pmatrix} \cdot T + q$$

Die erste und die letzte Zeile der Matrix sind wegen der konstanten Randwerte jeweils 0.

- ▶ Die Simulationszeit beträgt 1s und wird in m äquidistante Zeitschritte unterteilt

$$\Delta t = \frac{1}{m}$$

(1D) Diskretisierung – Zeit

- Die Simulationszeit beträgt 1s und wird in m äquidistante Zeitschritte unterteilt

$$\Delta t = \frac{1}{m}$$

- wir approximieren die Zeitableitung mit einem backward Euler (oder anderen Verfahren, wie Runge-Kutta höherer Ordnung)

$$\frac{\partial T_j}{\partial t} \approx \frac{T_j^{k+1} - T_j^k}{\Delta t} = \frac{\partial r_j}{\partial T} \cdot T^{k+1} + q_j$$

(1D) Diskretisierung – Zeit

- Die Simulationszeit beträgt 1s und wird in m äquidistante Zeitschritte unterteilt

$$\Delta t = \frac{1}{m}$$

- wir approximieren die Zeitableitung mit einem backward Euler (oder anderen Verfahren, wie Runge-Kutta höherer Ordnung)

$$\frac{\partial T_j}{\partial t} \approx \frac{T_j^{k+1} - T_j^k}{\Delta t} = \frac{\partial r_j}{\partial T} \cdot T^{k+1} + q_j$$

- was zur Vorschrift

$$\left(1 - \Delta t \cdot \frac{\partial r}{\partial T}\right) \cdot T^{k+1} = T^k + \Delta t \cdot q \text{ führt.}$$

$$c(x) = \begin{cases} c_0 & \text{für } x \leq 0.5 \\ c_1 & \text{für } x > 0.5 \end{cases}$$

$$q(x) = \delta(x - 0.4) \cdot q_c, \quad q_c = 1 \text{ W/m}^2$$

$$\frac{\Delta t}{(\Delta x)^2} \cdot \begin{pmatrix} \psi & 0 & 0 & 0 & 0 & 0 \\ -c_0 & 2c_0 + \psi & -c_0 & 0 & 0 & 0 \\ 0 & -c_0 & 2c_0 + \psi & -c_0 & 0 & 0 \\ 0 & 0 & -c_1 & c_1 + \psi & -c_1 & 0 \\ 0 & 0 & 0 & -c_0 & 2c_1 + \psi & -c_1 \\ 0 & 0 & 0 & 0 & 0 & \psi \end{pmatrix} \cdot T^{k+1} = T^k + \begin{pmatrix} 0 \\ 0 \\ \Delta t \cdot q_c \\ 0 \\ 0 \\ 0 \end{pmatrix}$$

Mit $\psi = \frac{(\Delta x)^2}{\Delta t}$.

- ▶ Grafisches Tool zur Eingabe der Netzparameter (z.B. Diskretisierungsgrößen n , m und die Aufteilung des Leitkoeffizienten $c(x, y)$)
- ▶ Simulationsprogramm
- ▶ Visualisierung (z.B. Video der zeitlichen Entwicklung der Temperaturverteilung)

Zur Aufgabe mitgeliefert

Chapter 2

Sample Chapter

Uwe Naumann and Johannes Lutz

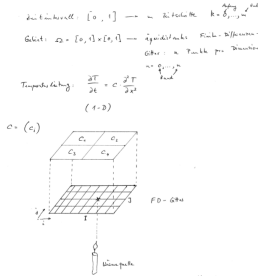


Figure 2.1. Illustration of the Real-World Problem by the authors: Naumann (Left) and Lutz (Right)

TODO Short intro and description of the real-world problem

We consider the estimation of the thermal diffusivity α of a given very thin stick. Thermal diffusivity describes the speed at which heat "spreads" within the material. High thermal diffusivity implies quick heat conduction. Our mathematical model depends on the unknown/unknown parameter α which is to be calibrated using experimentally obtained real-world measurements. The results of a numerical simulation of the temperature distribution within the stick after heating one of its two ends for some time are compared with given measurements. Refer to Figure 2.1 for a graphical illustration of the problem. The pictures in the upper row show the measuring of the initial temperature distribution in the stick. This process is continued while heating one end of the stick as shown in the pictures in the lower

15



Variablen problem:
 $\frac{\partial T}{\partial t} = \alpha \frac{\partial^2 T}{\partial x^2}$
Anfangs- und Randwerte
[0, 1] ist die Stange
 $T_0(x), T_1(x), T_2(x)$ Randwerte
ge: Temperaturverteilung
Anfangswert [0, 1]

Lebens Problem:
 $\frac{\partial T}{\partial t} = \alpha \frac{\partial^2 T}{\partial x^2}$
 $T_0(x), T_1(x), T_2(x)$ Randwerte
 $\frac{\partial T}{\partial t} = \alpha \frac{\partial^2 T}{\partial x^2}$
Anfangswert [0, 1]



Software and Tools for Computational Engineering
Prof. Dr. Uwe Naumann



Lehrstuhl für STCE, RWTH Aachen, D-52074 Aachen

SEELER GmbH
Aachen

Aachen, 6. Mai 2013

Auftrag zur Entwicklung einer Simulationssoftware

Sehr geehrte Damen und Herren,

wenn wir gerade mal nicht forschen oder lehren, dann entwickeln wir für die Metallplatten ein System, um unseren Kunden die Möglichkeit zu geben, diese an einem Punkt zu erhitzen und die resultierende zeitliche Entwicklung der Temperaturverteilung in den Platten zu studieren. Warum man auf diese Idee kommen könnte interessiert uns nicht – es existiert ein Markt

Aus der Verwendung unterschiedlicher Schichttypen folgt eine Inhomogenität der Metallplatten bezüglich der örtlichen Verteilung des Temperaturkoeffizienten. Zur Aufwertung unseres Produktportfolios soll eine Simulationssoftware entwickelt werden, die unseren Kunden erlaubt, verschiedene Konfigurationen numerisch zu testen. Dabei soll mithilfe einer graphischen Benutzeroberfläche die Platte in beliebige Gebiete zerlegt und diesen jeweils Werte für den lokalen Temperaturkoeffizienten zugeordnet werden. Desweiteren sollen Anfangs- und Randwerte in die Platte, deren Randungen aus und ein und Innenteile der Wärmezufuhr spezifiziert werden können. Verschiedene Integrationsverfahren sollen zur Verfügung gestellt und der Verlauf der Simulation graphisch (z.B. durch Einfärben der Platte) visualisiert werden.

Diesem Ansuchen liegt ein Dokument bei, welches das Grundprinzip der Wärmeübertragung anhand eines einseitig erhitzten Stabes erläutert. Dieser Ansatz bedarf der Verallgemeinerung im Sinne des oben beschriebenen Szenarios. Desweiteren finden Sie Skizzen diverser Szenarien des beschriebenen Problems. Literatur zur mathematischen Behandlung der Wärmeübertragung gibt es "wie Sand am Meer". Unsere Ingenieure sind gern bereit, die Anforderungen an das zu implementierende System im Rahmen diverser Diskussionen mit Ihnen zu konkretisieren. Wir freuen uns auf eine effektive und effiziente Zusammenarbeit.

Für Messungen O , minimiere das Zielfunktional

$$J(c) = \frac{1}{n-1} \cdot \sum_{j=0}^{n-2} (T_j^m(c) - O_j)^2$$

mithilfe eines Steepest Descent Algorithmus'

$$c^{i+1} = c^i - \nabla_c J(c) = c^i - s \cdot \frac{\partial J}{\partial c}$$

mit Parameter s .

Der benötigte Gradient $\nabla_c J(c)$ kann mithilfe von finiten Differenzen, oder besser, mithilfe automatischen Differenzierens berechnet werden.